

# Institut Fresnel UMR 6133

# **Équipe CLARTE**

Contrôle de la Lumière et Analyse du Rayonnement : Traitement Electromagnétique

2006-2010











# **Moyens Humains**

12 Permanents

4 CNRS 7 UP-UPCAM 1 ECM Pour les 4,5 ans considérés pour l'évaluation = 43 ETPR

**7 Doctorants** 

Soit 9,5 ETPR / an en moyenne



### Métier - Rayonnement - Collaborations

ANR (souligné) Nationales Internationales

# Mathématiques appliquées

Univ. Liverpool Imperial College Univ. Cagliari

ANAM (Toulon)

#### **Théorie**

AMOLF (Amterdam)...

#### **Applications**

CEA CNES

DGA

Jobin-Yvon

Thales Alenia Space

PERFOS (Lannion)

ILE (Palaiseau)

#### Modélisation

IEF (Orsay)

GES (Montpellier)

LASMEA (Clermont)

ESPCI & EM<sub>2</sub>C

Univ. Sydney

Univ. Valencia

Univ. Liège

Univ. Sienne

Univ. Trente

Univ. Tsinghua

Univ. Kânpur

Univ. St Petersburg

Univ. Wroclaw (Poland)

#### Expérience

ICB (Dijon)

IEMN (Lille)

LAAS (Toulouse)

LPN (Marcoussis)

LVC (Rennes)

PERFOS (Lannion)

X-Lim (Limoges)

Phlam/IRCICA (Lille)

IEF (Orsay)

**GEMAC** (Versailles)

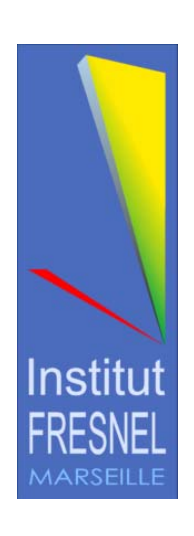
FOTON/ENSSAT (Lannion)

FEMTO-ST (Besançon)

**ONERA DOTA** 

ICFO (Barcelona)

ICMM (CSIC, Madrid)



# Thèmes de recherche

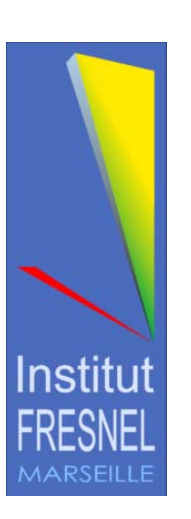
Thème 1 : Cristaux photoniques et phononiques

Thème 2 : Métamatériaux et cloaking

• Thème 3 : Plasmonique

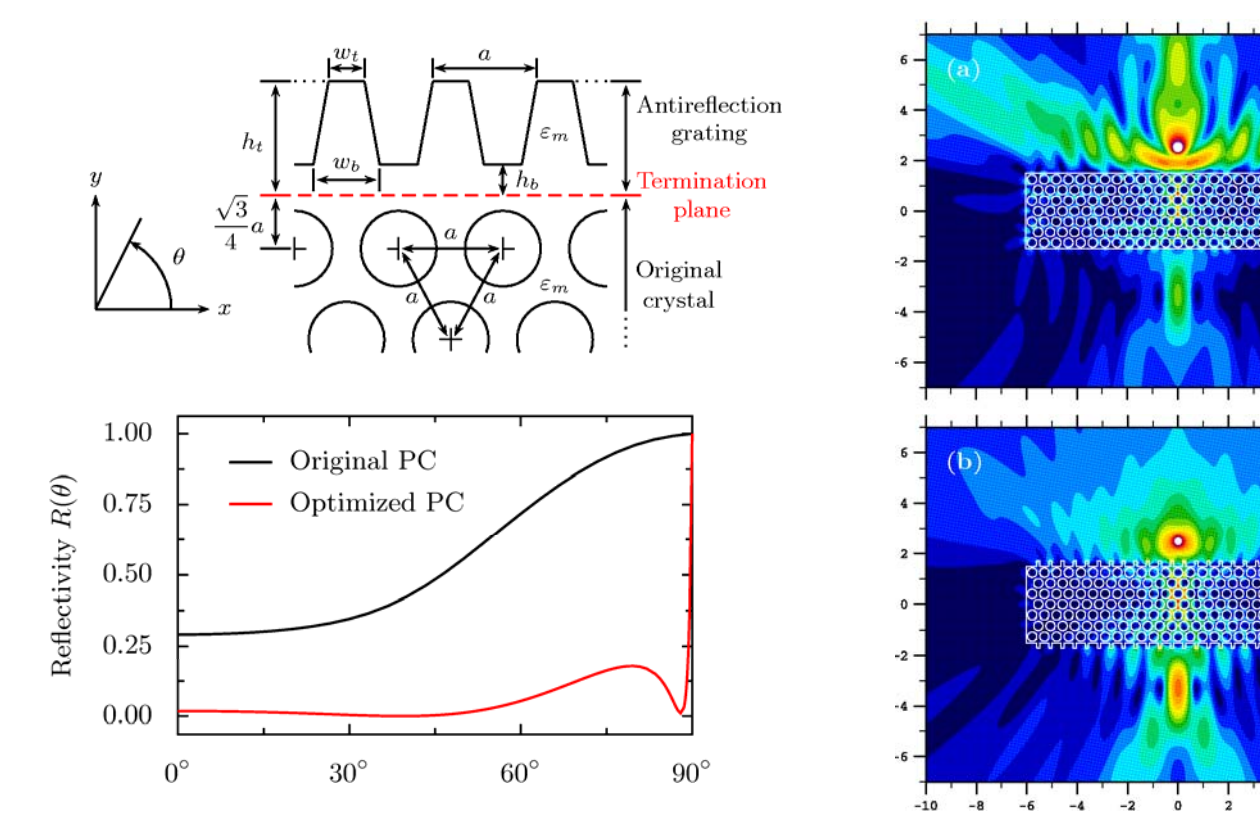
• Thème 4 : Diffraction et réseaux

• Thème 5 : Fibres optiques



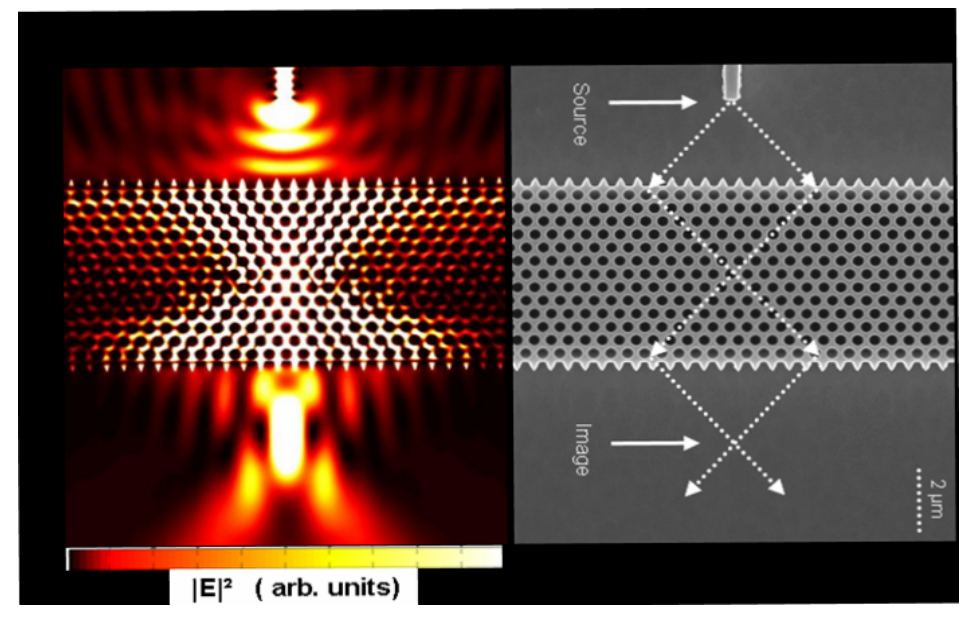
Lentille plate en cristal photonique d'indice -1 Source ponctuelle au dessus, image au dessous

- (a) Mauvaise adaptation d'impédance entre le vide et le cristal => forte réflexion
- (b) Après conception d'un profil de réseau antiréfléchissant, bonne transmission et image renforcée

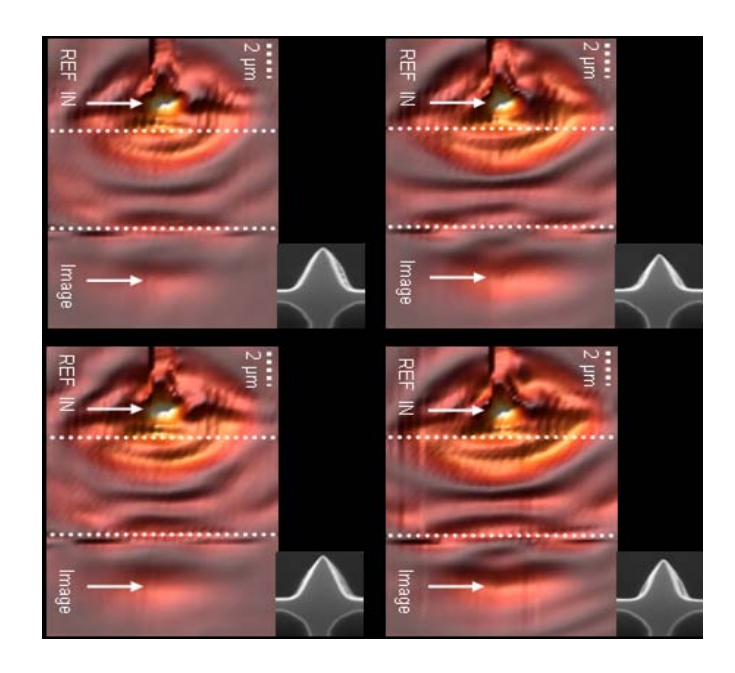




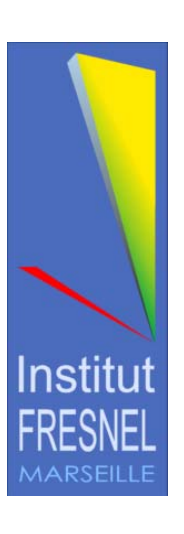
Projet FANI (ANR-07-NANO-038-03) Lambda = 1530 nm



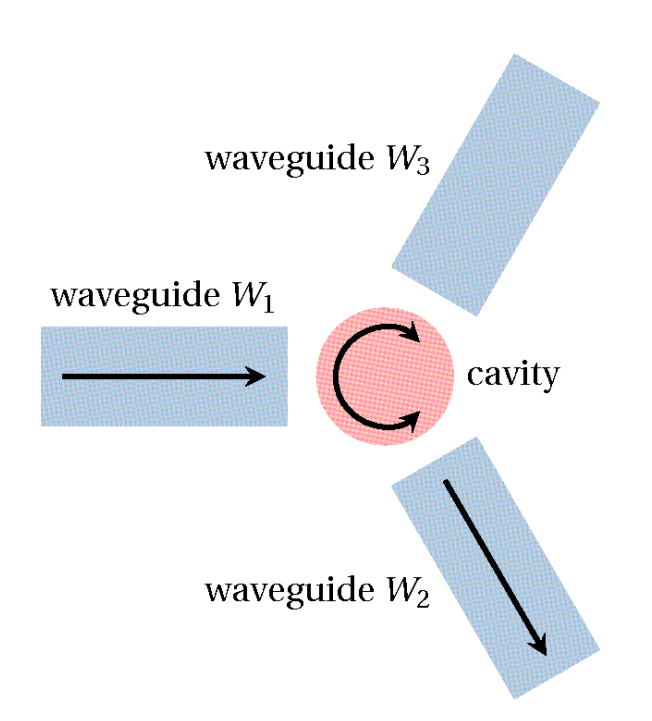
Fabrication en optique guidée: Équipe DOME, IEMN, Lille

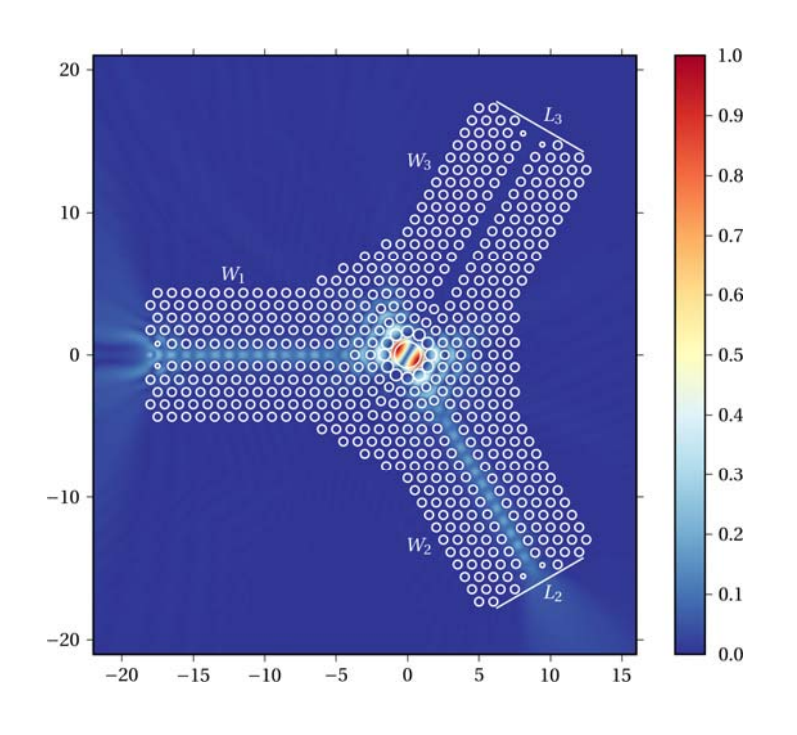


Mesures en champ proche: Équipe OCP, LICB, Dijon

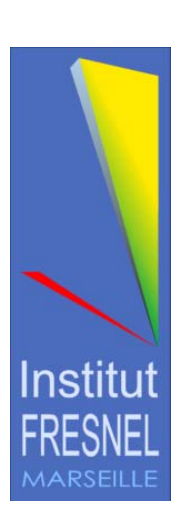


Conception de composants non-réciproques pour l'isolation en optique intégrée

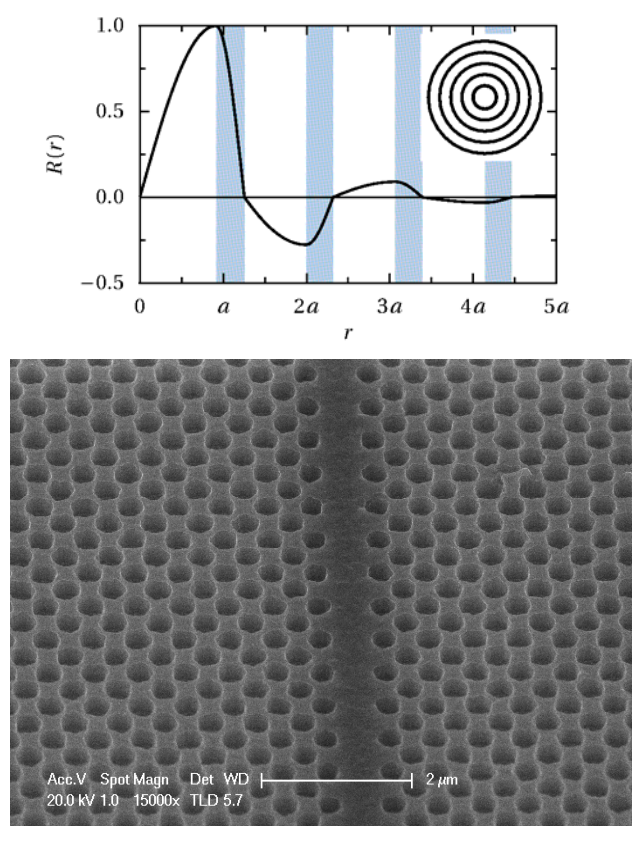


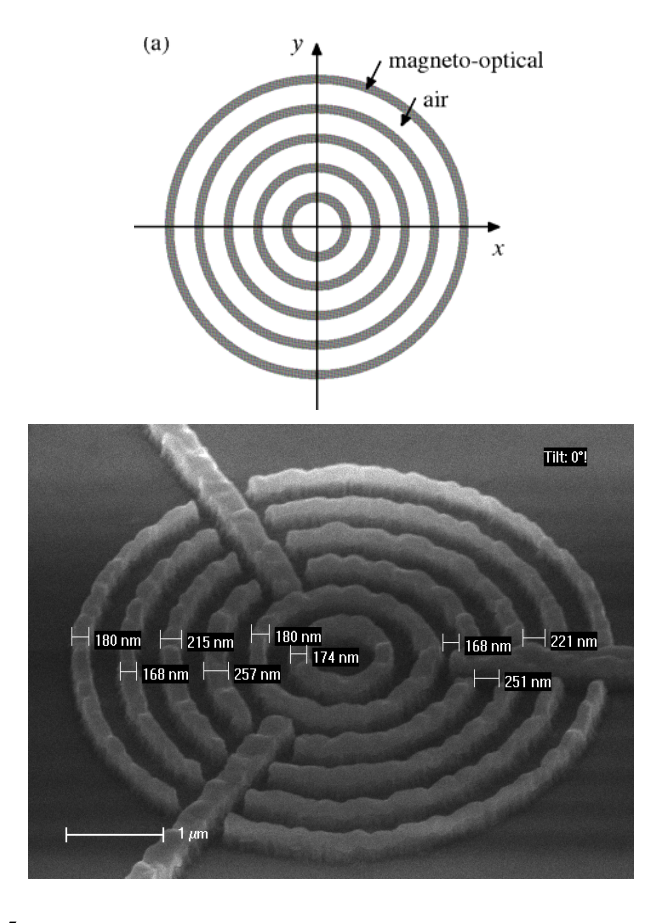


Circulateur en cristal photonique magnéto-optique



Projet Magneto-Phot (ANR-06-BLANC-0252)





Fabrication en optique guidée: équipe MMS, IEF, Orsay

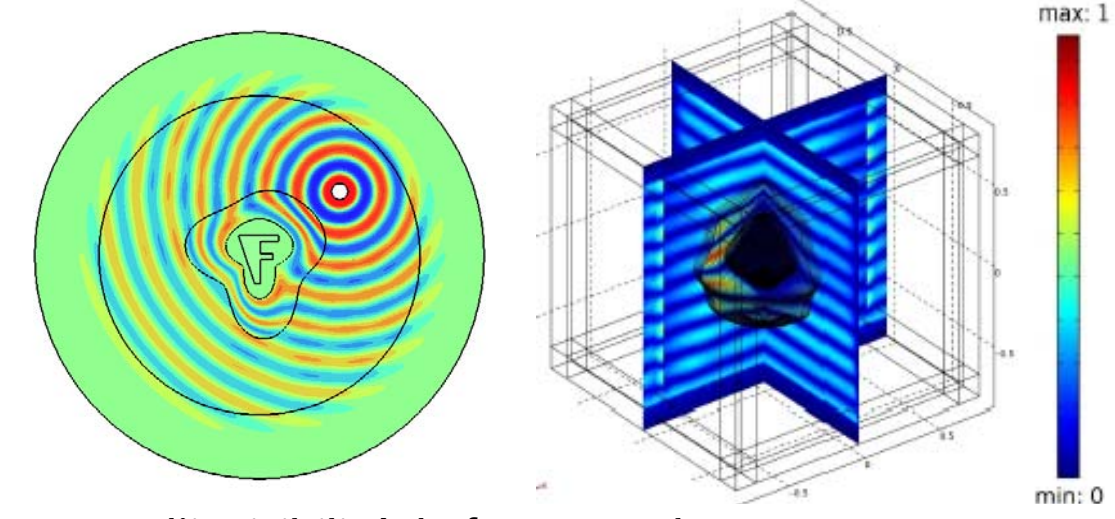


## Métamatériaux et cloaking

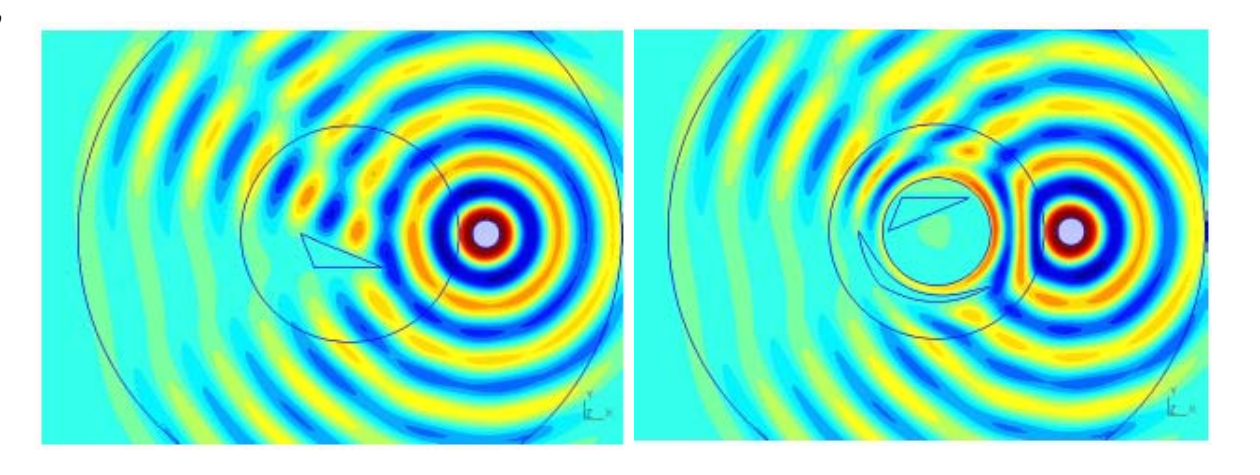
#### Optique de transformation (invisibilité et mirages)

- 1. Zolla, Guenneau, Nicolet, and Pendry, Optics Letters 32 (9), 1069-1071, 2007
- 2. Nicolet, Zolla, and Guenneau Optics Letters 33 (14),1584-1586, 2008
- 3. Dupont, Guenneau, Enoch, Demesy, Nicolet, and Zolla, Opt. Express 17 (25) 22603 2009
- 4. Nicolet, Zolla and Geuzaine, IEEE Trans. Mag. 2010
- 5. Diatta, Dupont, Guenneau and Enoch, Optics Express 18(11), 11537, 2010

Illustration de la cape « caméléon »



Capes d'invisibilité de forme quelconque 2D et 3D

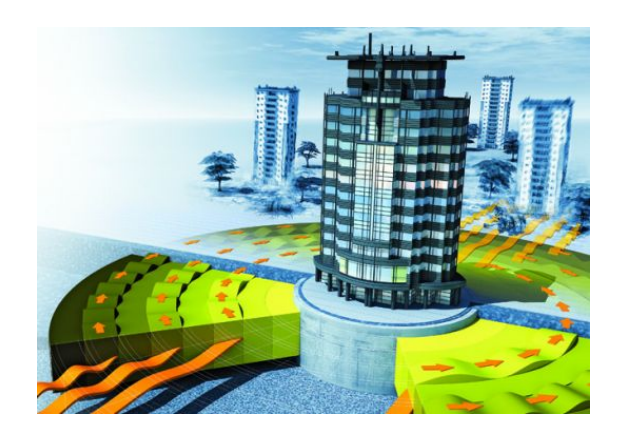




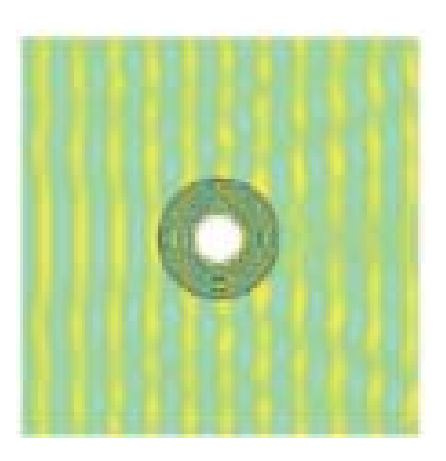
# Cristaux photoniques, phononiques, métamatériaux et cloaking

#### Cape d'invisibilité pour ondes sismiques

Farhat, Guenneau, Enoch & Movchan Phys.Rev.Lett. 2009 Appl. Phys. Lett. 2010 Brevet déposé (CNRS/ Aix Marseille Université/ Liverpool University)



Vue d'artiste



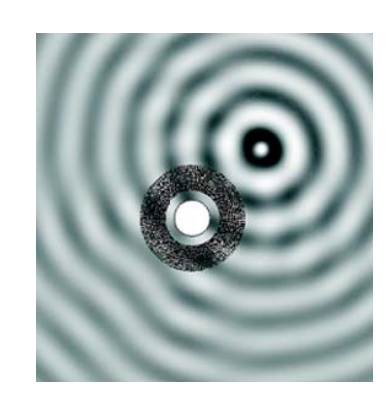
Simulation numérique

#### Cape d'invisibilité pour vagues

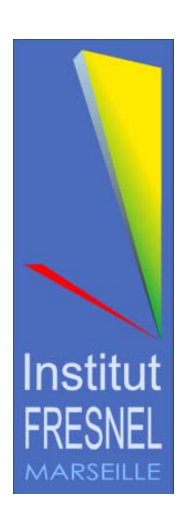
Farhat, Enoch, Guenneau & Movchan Phys. Rev. Lett. 2008



Dispositif expérimental



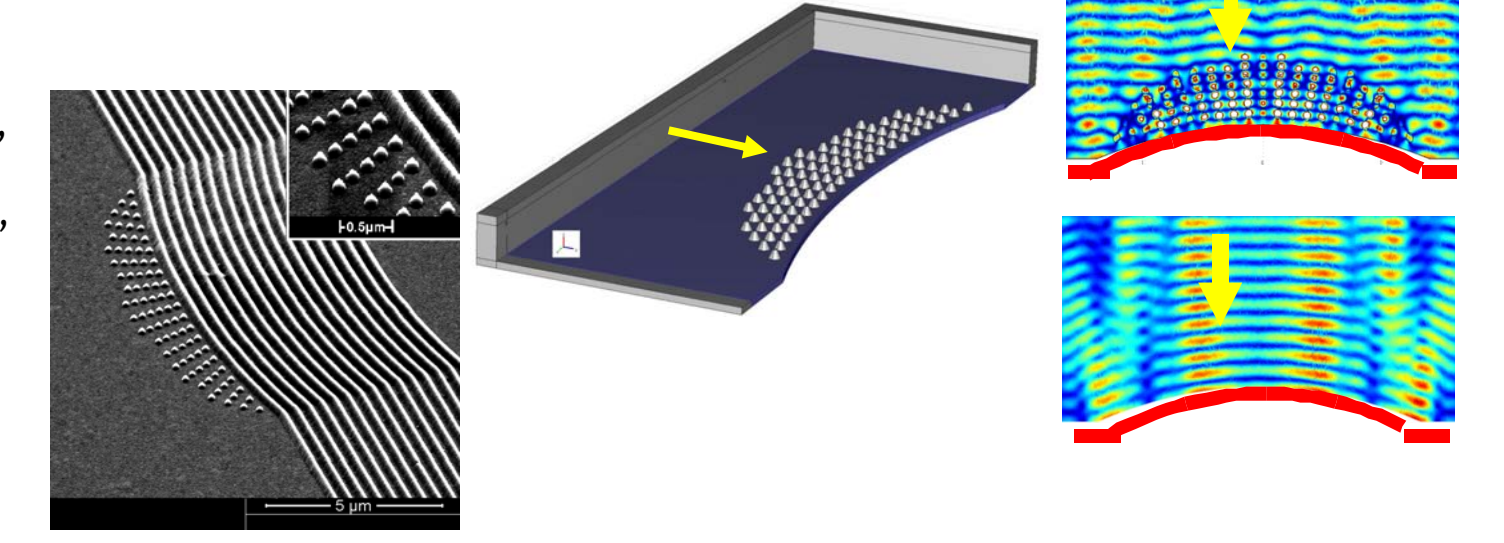
Simulation numérique



## Métamatériaux et cloaking

Plasmonique transformationnelle (tapis d'invisibilité) Contrôle de la propagation des plasmons de surface

Renger, Kadic, Dupont, Guenneau, Quidant, Enoch, Opt. Express 18, 15757 (2010)



Réalisation expérimentale (Barcelone) mettant en exergue les plasmons de surface à l'aide de nanoplots de TiO2 déposés sur une surface d'or.

Simulation numérique (vue de dessus)



#### Plasmonique et nano-objets

#### Problématiques:

Interaction de la lumière avec des nano-particules

Focalisation de la lumière incidente dans des zones sub- $\lambda$ 

Nano-antennes: couplage d'émetteurs avec des nano-objets en vue d'augmenter

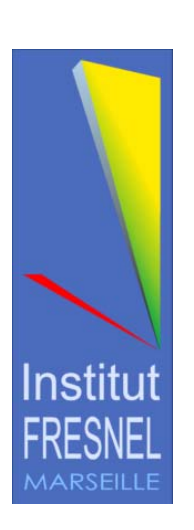
- l'efficacité radiative
- la directivité ou le contrôle des directions d'émission

#### **Utilisation:**

- de théories quasi-analytiques
- des résonnances plasmoniques dans les particules métalliques
- et aussi des propriétés des sphères diélectriques

En gardant à l'esprit les propriétés de réciprocité:

- champ lointain => champ local (focalisation)
- champ local => champ lointain (émission directive)

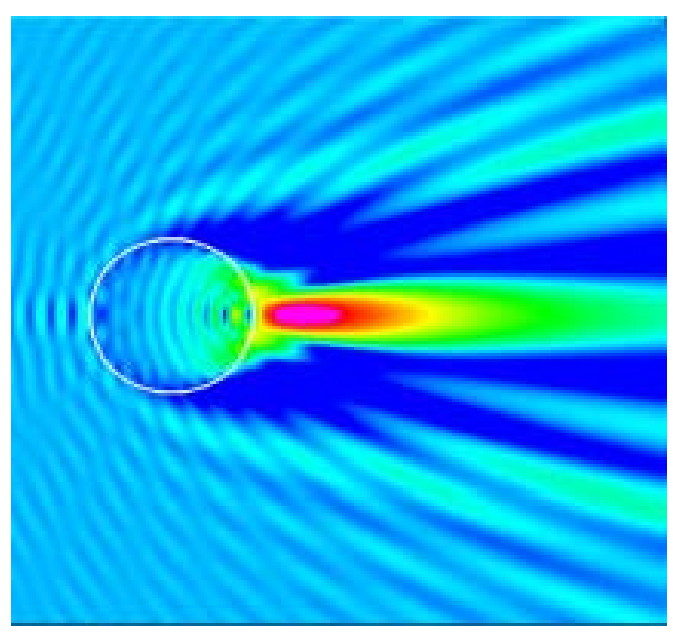


#### Jets photoniques

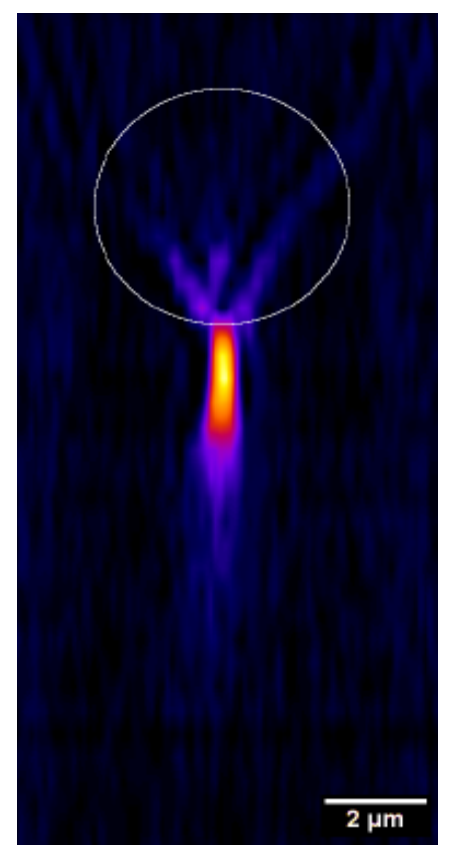
#### Modélisation: Observations:

Sphère illuminée par une onde plane : Collaborations avec MOSAIC

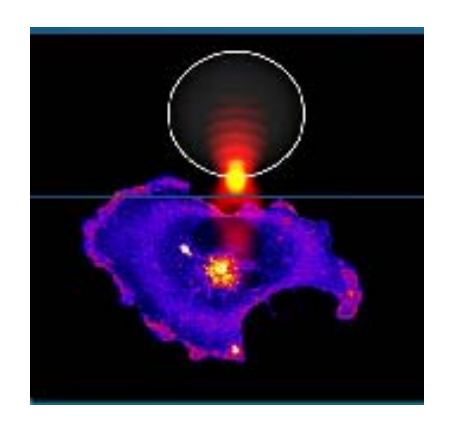
- transverse FWHM sub-λ
- Faible divergence



A. Devilez et al., Opt Express (2008)



$$d = 5 \mu \text{m}$$
  
 $\lambda = 520 \text{ nm}$   
 $n_s = 1.6$ 

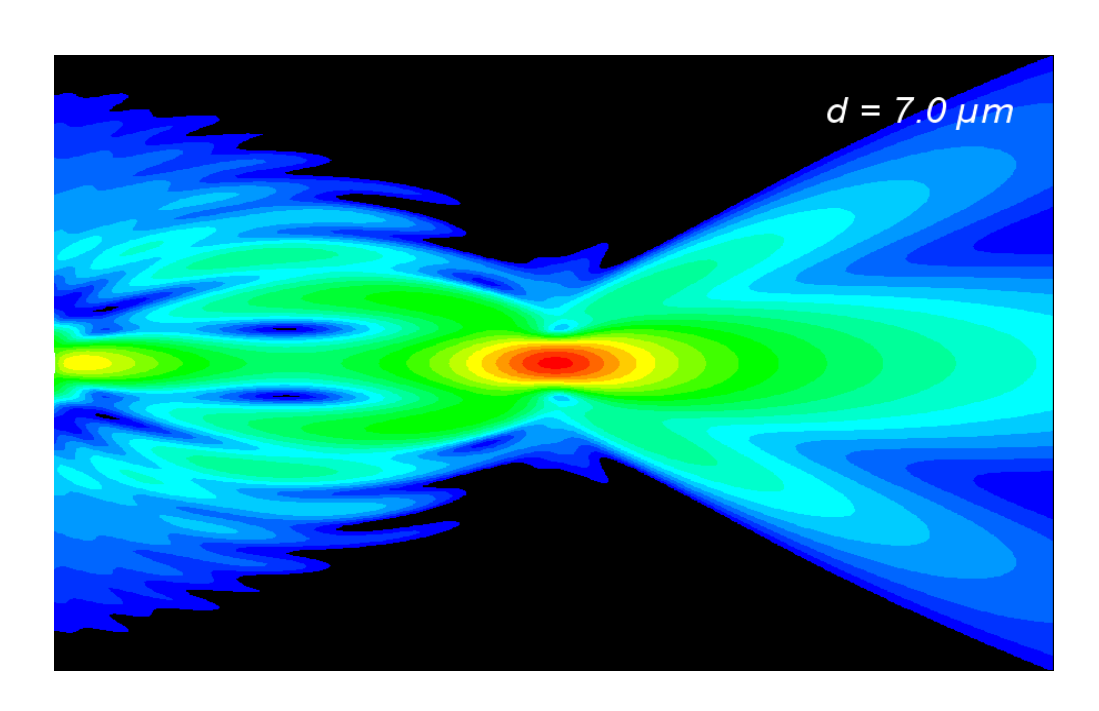


Ferrand *et al*, Opt Express **16**, 6930 (2008)



## **Jets photoniques**

Sphères diélectriques dans un faisceau à grande ouverture numérique => confinement tri-dimensionnel avec des objets extrêmement simples



Devilez et al., Opt. Express 17, 2089-2094 (2009)

#### **Applications: (avec MOSAIC)** « fluorescence time correlation spectroscopy » (FCS) Fluorescence rate enhancement Number of molecules reduction Observation Institut volume Alexa 647 molecules Micro Objective sphere 40x / 1.2 Glass Laser 633nm Dichroic 2 Excitation 1 Microbead diameter (µm) mirror Fluorescence 1 Fluo. 670nm 1.5 Confocal 1.0 pinhole 0.5 (E) × -0.5 -1.0 Correlator -1.5 z (um)

J. Opt. Soc. Am. B (2009), Proc. SPIE, 7393 (2010) **26,** Optics Express, **17** (2009), Opt. Express **16**, 15297 (2008)

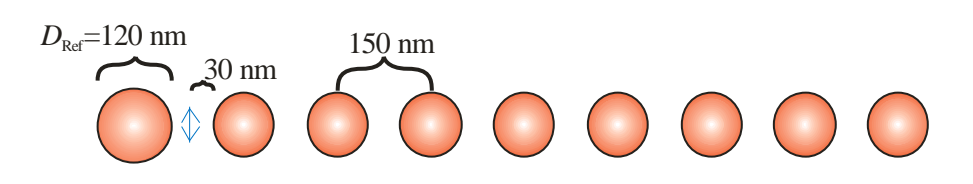
# Institut FRESNEL MARSEILLE

# Plasmonique: nano-antennes (Modification des taux de désexcitation et de directivité d'émetteurs quantiques)

#### Formulation multipolaire quasi-analytique:

$$\begin{split} \frac{\Gamma_{e}}{\Gamma_{0}} &= \frac{\left\langle P_{e} \right\rangle}{\left\langle P_{e,0} \right\rangle} = 1 + \frac{6\pi}{\operatorname{Re}\left\{k_{b}\right\}} \operatorname{Re}\left\{k_{b} \sum_{j,l=1}^{\infty} f^{\dagger} \cdot H^{(0,j)} \cdot T^{(j,l)} \cdot H^{(j,0)} \cdot f\right\} \\ \frac{\Gamma_{r}}{\Gamma_{0}} &= \frac{\left\langle P_{r} \right\rangle}{\left\langle P_{r,0} \right\rangle} = 1 + 6\pi \sum_{i,j,k,l=1}^{\infty} \left[T^{(j,i)} \cdot H^{(i,0)} \cdot f\right]^{\dagger} \cdot J^{(j,k)} \cdot T^{(k,l)} \cdot H^{(l,0)} \cdot f \\ &+ 12\pi \operatorname{Re}\left[\sum_{j,k=1}^{\infty} \left[J^{(k,0)} \cdot f\right]^{\dagger} \cdot T^{(k,j)} \cdot H^{(j,0)} \cdot f\right] \end{split}$$

#### Antenne Yagi-Uda: Forte directivité

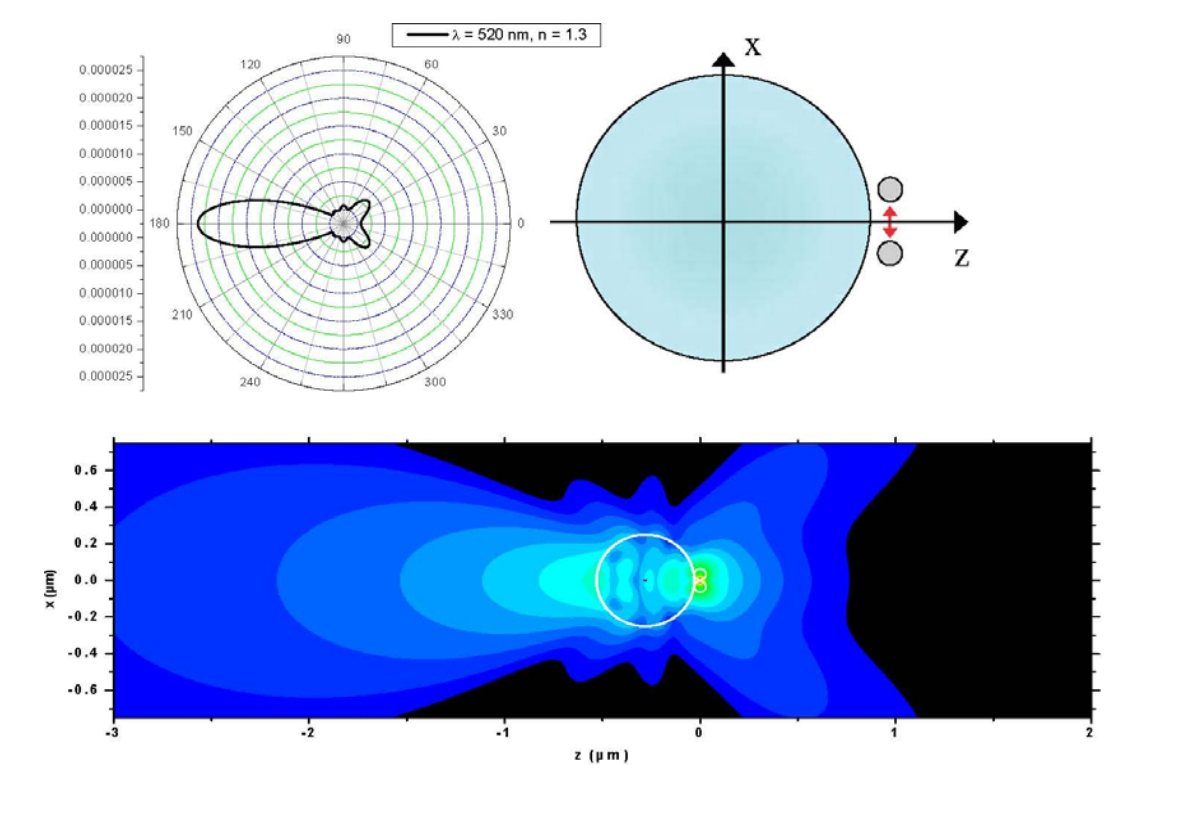


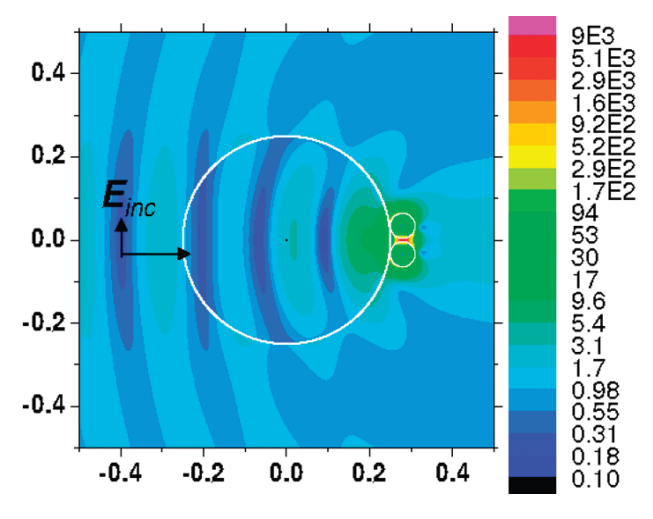
Stout, Devilez, Rolly, Bonod JOSA B, (2011)

# Institut FRESNEL MARSEILLE

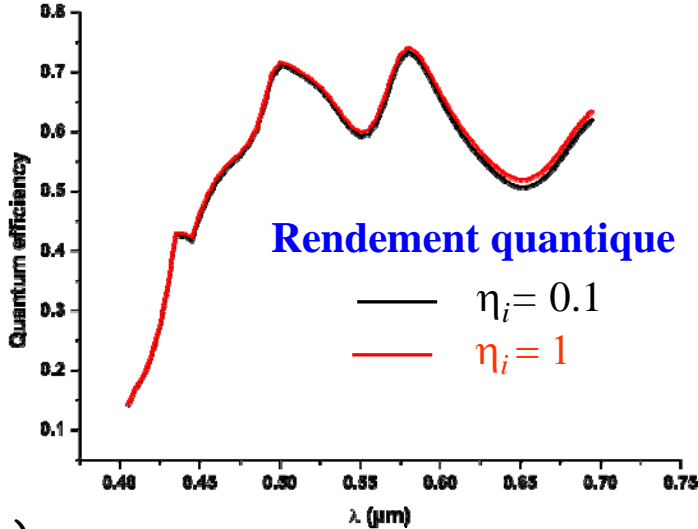
### Plasmonique : antenne métallo-diélectrique

Forte directivité
et
augmentation du rendement d'émission
sur un spectre large





Hot spot très intense (onde plane incidente d'amplitude 1)



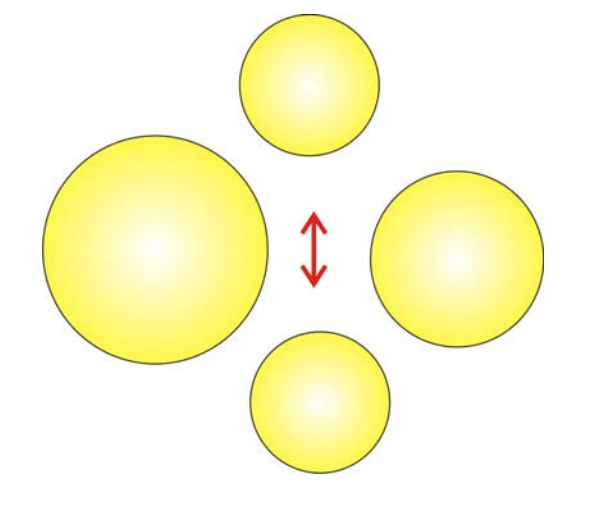
Devilez et al. ACSNano (2010)

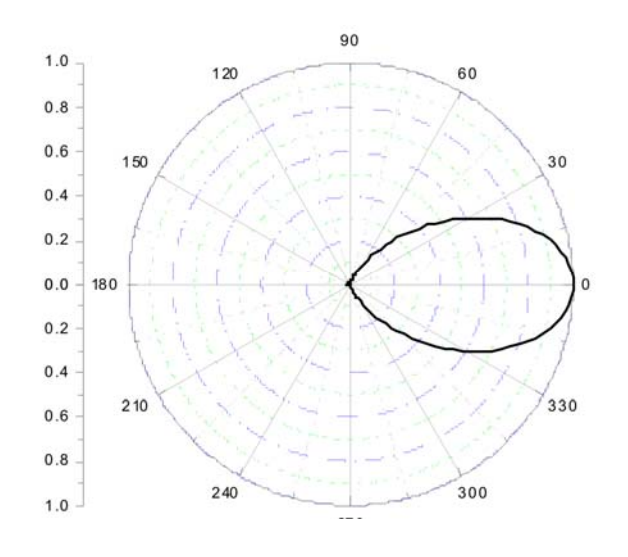


# Plasmonique: antenne ultra-compacte

#### Directivité et augmentation du rendement d'émission

Bonod et. al. Phys. Rev. B 82 (2010)





Compacité : pas plus de 2 particules sur le même axe (simplification de fabrication) diamètres < 100 nm

2 particules sur l'axe: optimisées en tenant compte des polarisations induites, de leurs phases et des distances (concept original) => bonne directivité avec peu d'éléments 2 particules hors axe => optimisation du rendement d'émission

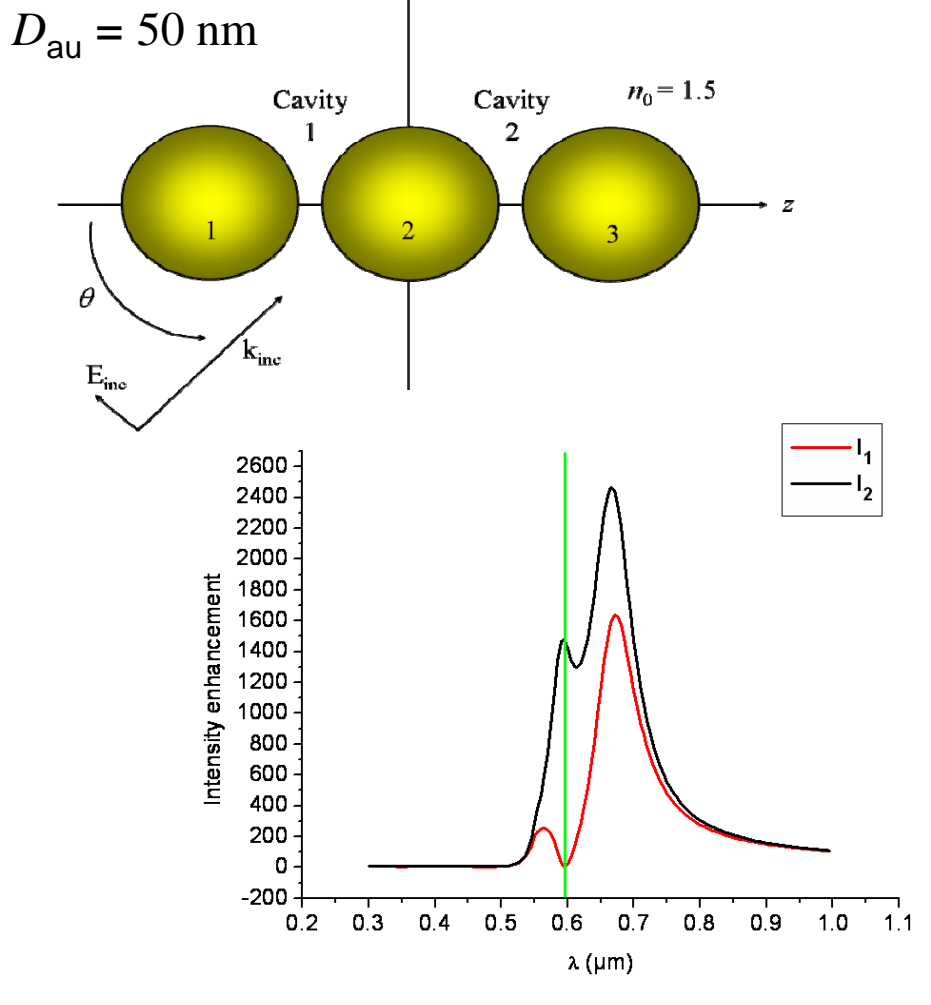
Projet ANR BLANC en cours de dépôt, avec Institut Langevin et UTT : fabrication par auto-assemblage par brins d'ADN,

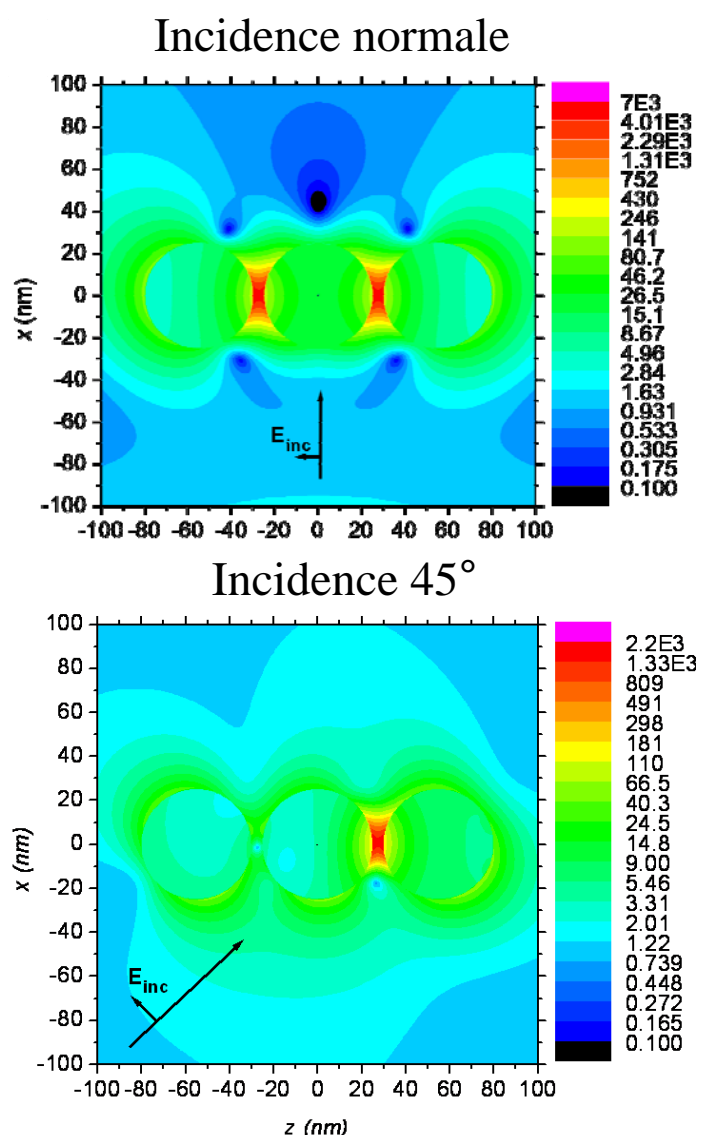


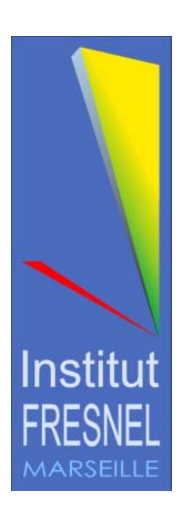
### Plasmonique Contrôle de points chauds en champ le

# Contrôle de points chauds en champ lointain (Couplages de modes d'excitation)

Devilez et al. Phys. Rev. B 81, 2010

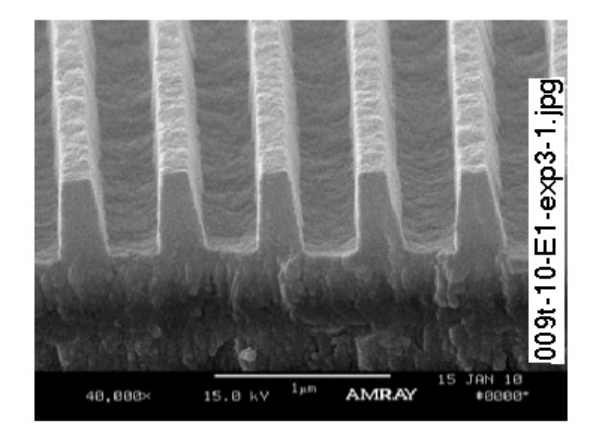






#### Réseaux de diffraction pour la compression d'impulsions





#### 2 projets d'envergure

 Projet PETAL: laser PetaWatt en cours d'installation sur le site du CEA CESTA en Aquitaine

7.2 PW, 500 fs, 77.2 ° d'incidence, TE

• Projet **ELI**: Extreme Light Infrastructure

Problématique : optimisation de réseaux gravés sur des multicouches, avec

- cahier des charges strict sur les performances (réflectivité large bande)
- tenue aux flux intenses

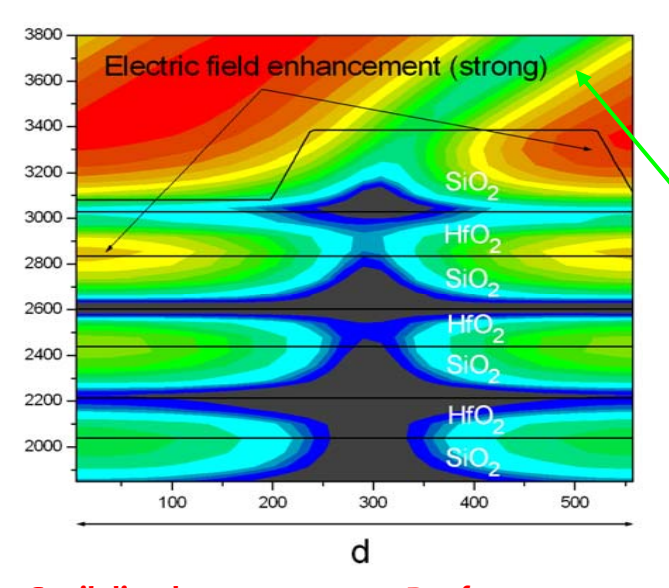


# PETAL - Réseaux diélectriques : gravure réalisée sur la couche supérieure d'un multicouches diélectrique

Empilement HfO2/SiO2, couche de silice superficielle gravée, 1780 tr/mm, 77.2°, TE

Collaboration: CEA CESTA, IF, Horiba Jobin Yvon

- 1. IF: Designs de la gravure
- 2. SAGEM/LITEN: dépôt de l'empilement 120x140 mm²
- 3. HJY: Gravure+ mesures AFM
- 4. IF: Estimation du renforcement de |E|2
- 5. CEA CESTA: Mesure du seuil d'endommagement

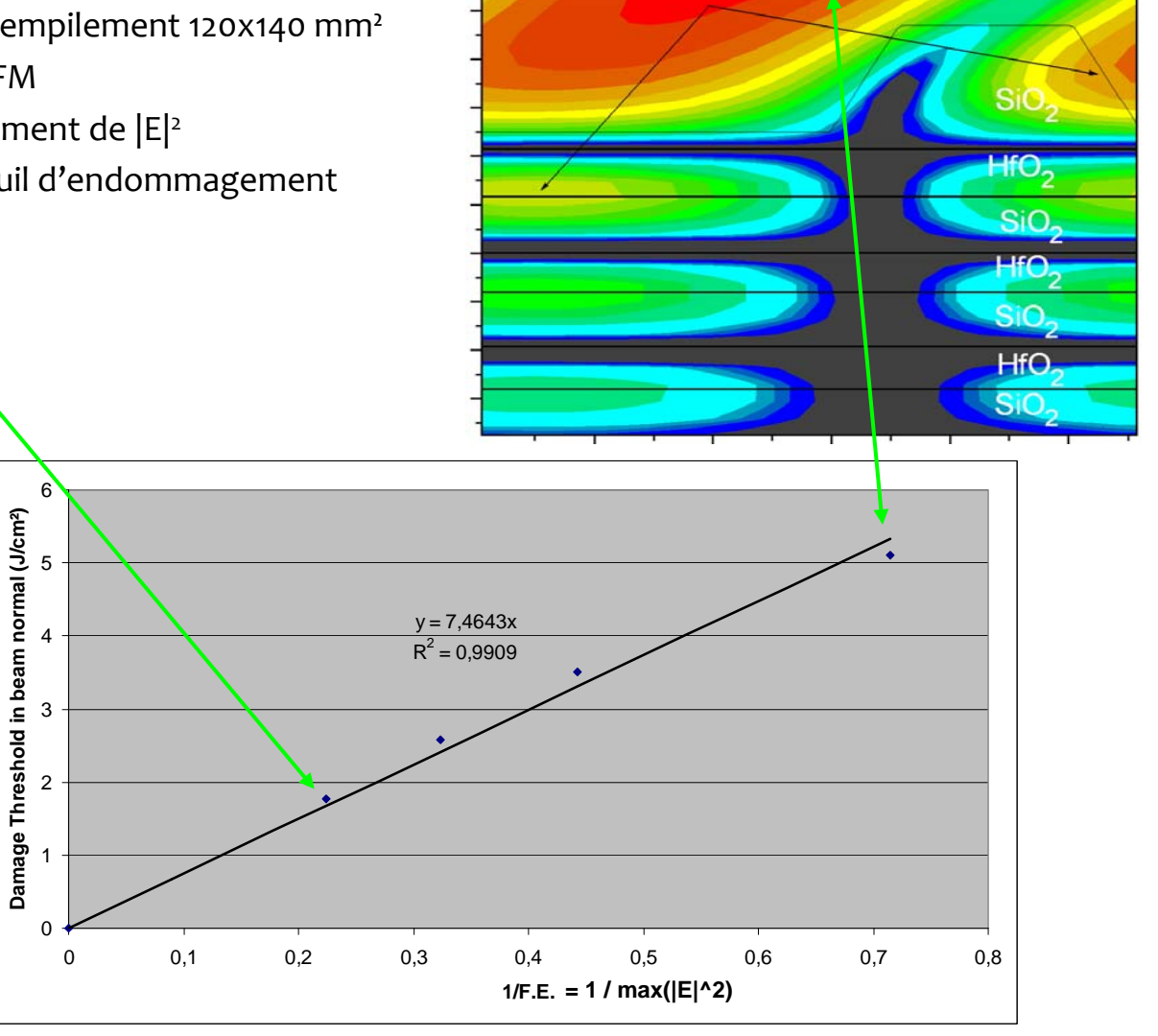


Seuil d'endommagement  $\alpha$  Renforcement du champ

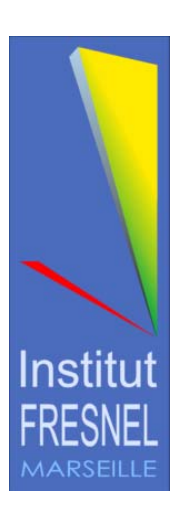
Valeur maximale de 5 J/cm² obtenue, plus haute valeur publiée à ce jour

(en incidence normale)

J. Neauport, N. Bonod, Opt. Express, (2007)



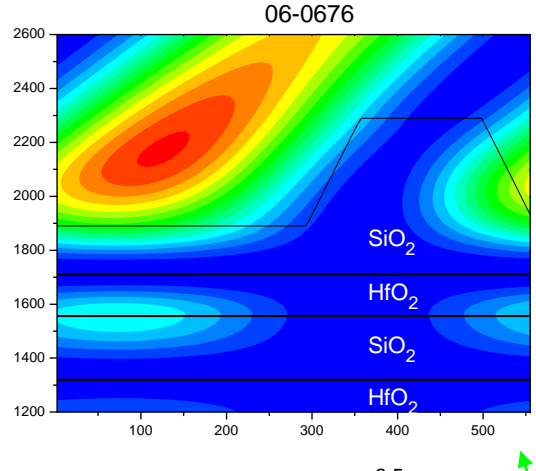
Electric field enhancement (low)

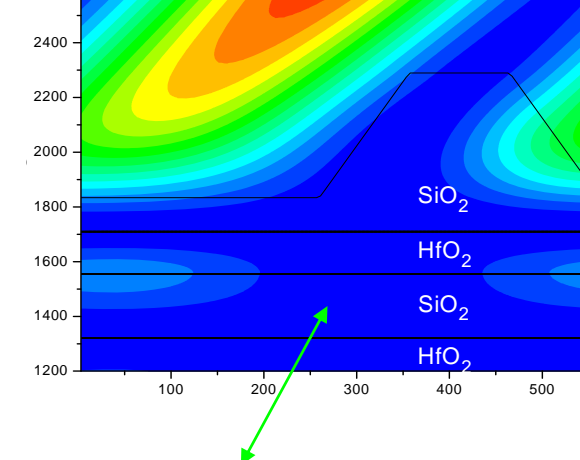


### Réseaux mixtes métal-diélectrique

Objectif: Réduire le nombre de couches diélectriques

Principe: déposer l'empilement diélectrique sur une couche d'or déposée par évaporation sur le substrat





06-0679

IF: Designs de l'empilement diélectrique et de la gravure

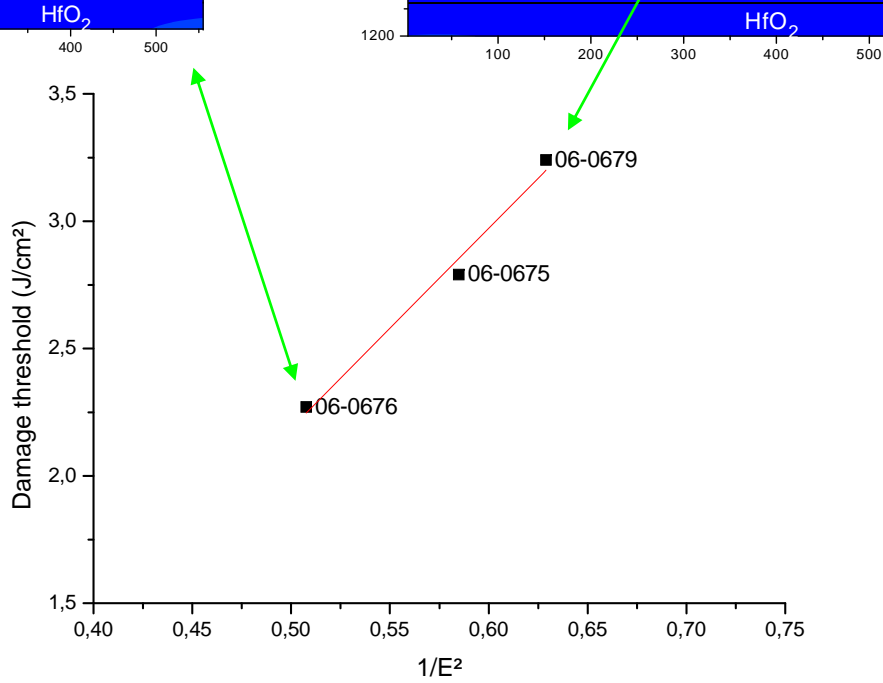
LITEN: dépôt de l'empilement 120 x 140 mm²

HJY: Gravure+ mesures AFM

IF: Estimation du renforcement de |E|2

CEA CESTA: Mesure du seuil d'endommagement

J. Neauport, N. Bonod et al., Opt. Express (2010)



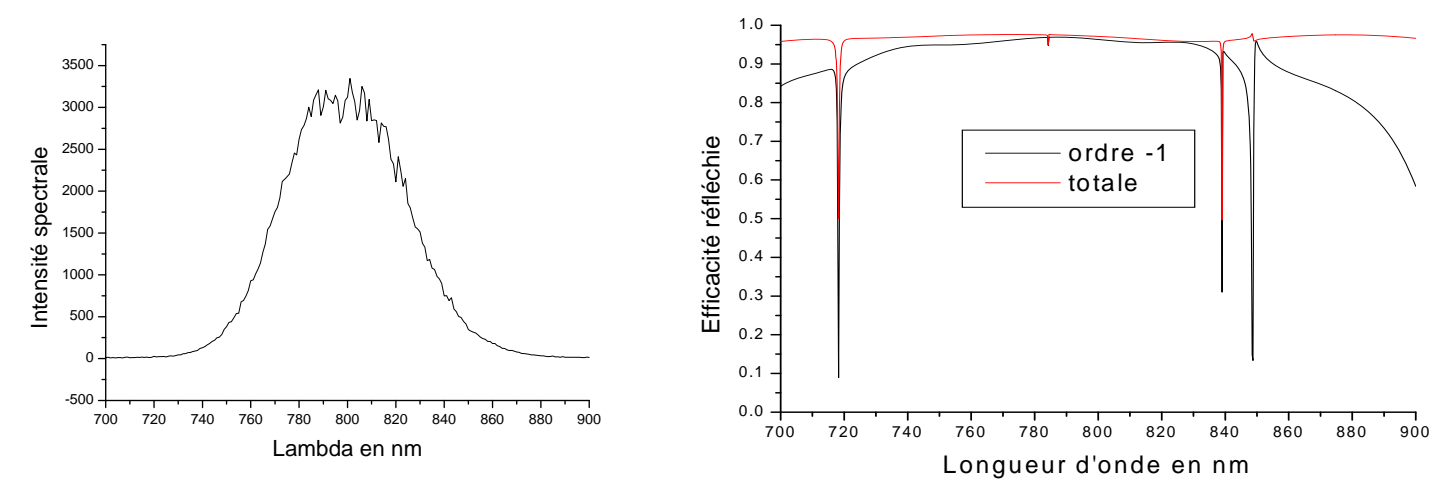
2600



#### **Projet ELI**

#### Collaboration Ecole Polytechnique, Institut Fresnel

- Problématique : durée d'impulsion très courte => largeur spectrale très importante : 200 nm centrée autour de 800 nm
- Gravure dans le bas indice: silice car seuil d'endommagement élevé
- Optimisation de l'empilement puis de la gravure => pas de solution
- Solution : optimisation conjointe de l'empilement et de la gravure Empilement déposé sur couche d'or, réduit à 7 couches, gravure dans la silice :



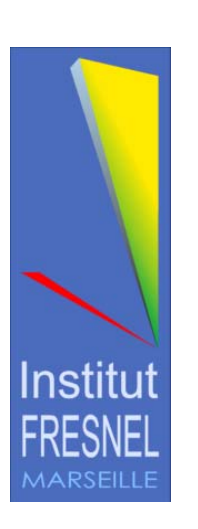
Brevet en cours de dépôt avec demande de PCT Réseaux en cours de fabrication



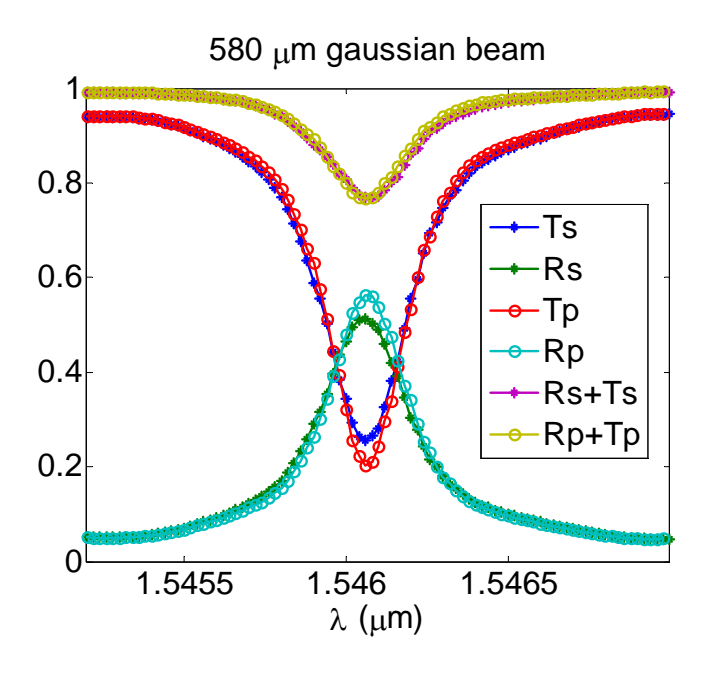
# Réseaux résonnants pour le filtrage ultra-sélectif en longueur d'onde

Collaboration (CLARTE-SEMO-RCMO) et LAAS (Toulouse), LPN (Marcoussis) Financements ANR FOREAC (PNano), CNES, ADEME

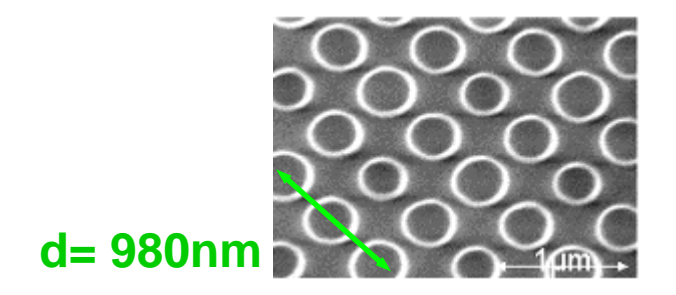
- Quadriennal 2002-2006: 1ère réalisation expérimentale
  - réseau 2D carré en SiO2, incidence normale: facteur  $Q=\lambda/\Delta\lambda=3300$
  - Limitations: tolérance angulaire du filtre < divergence du faisceau incident (composant 1 mm²) et défauts de fabrication
- Quadriennal 2006-2010:
  - Nouvelles configurations: maille hexagonale, incidence oblique
  - Réseau haut indice (Ta2O5): tolérance angulaire > divergence du faisceau incident => limitations uniquement dues aux défauts de fabrication



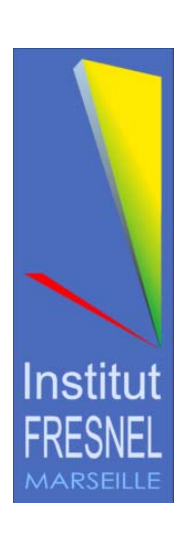
# Réseaux résonnants pour le filtrage ultra-sélectif en longueur d'onde



Théorie Q=7000 ( $\Delta\lambda$ =0.21nm) Expérience Q=5500 ( $\Delta\lambda$ =0.28nm)

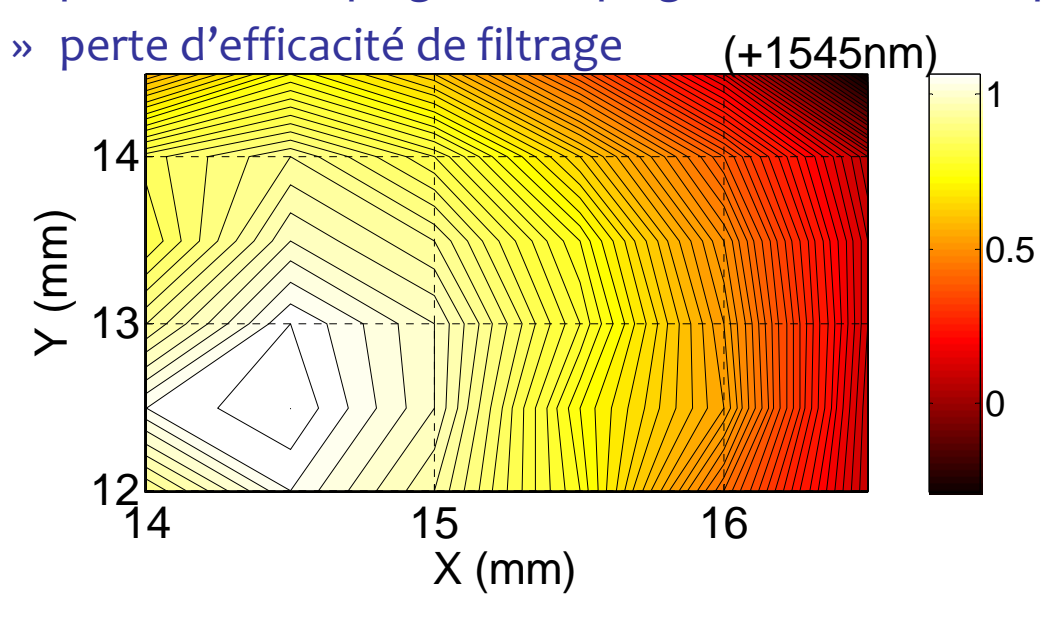


- Analyse des défauts de fabrication
  - impact négligeable (après optimisation du process de fabrication):
     raccords de champ (réseau parasite), inhomogénéités haute fréquence (désordre dans la forme, taille, profondeur et position des trous)



# Réseaux résonnants pour le filtrage ultra-sélectif en longueur d'onde

- Impact limitant : inhomogénéités large échelle (dérive de période, épaisseur, indice de couches, diamètre et profondeur des trous)
  - » dérive de la longueur d'onde de résonance
  - » élargissement spectral
  - » processus couplage/découplage du mode incomplet



 Axes de développement : accordabilité (angulaire ou avec des matériaux actifs), autres longueurs d'onde (infra-rouge), réseaux à fort contraste d'indice...

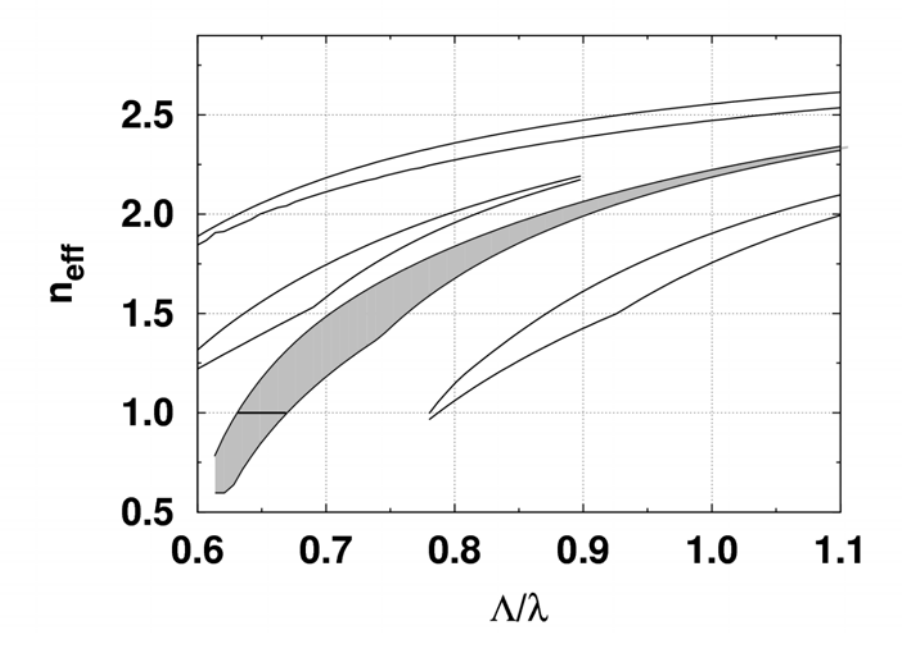


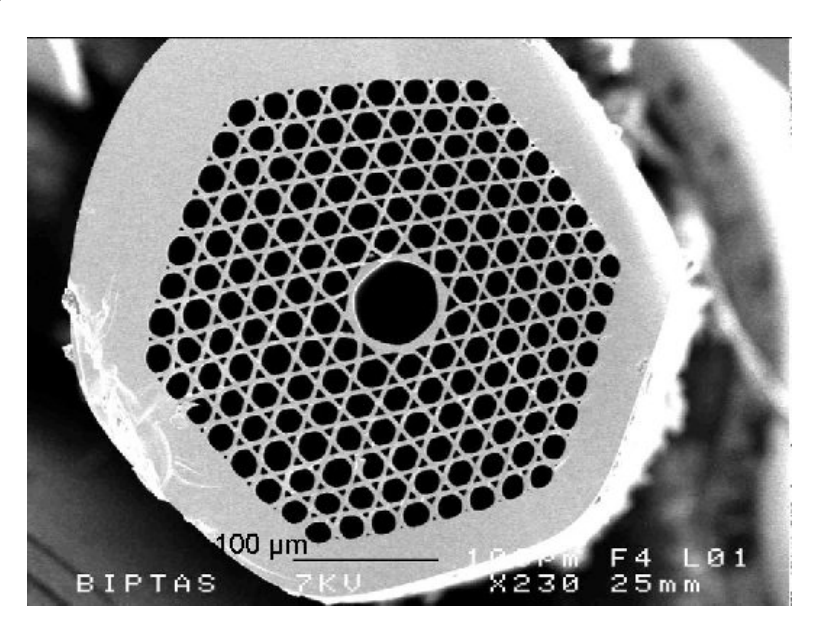
#### Fibres microstructurées

**But:** guider dans les gammes infrarouge 3-5 µm ou 8-12µm des flux lumineux de puissance. Pas de solution existante.

**Méthode:** conception d'une fibre à cœur creux entourée d'une structure à bande interdite. Matrice en verres de chalcogénure transparents dans la gamme 3-5 µm ou 8-12µm. Forme spécifique pour l'anneau entourant le coeur creux afin de réduire les pertes de guidage de la fibre.

**Cadre:** collaboration entre le LVC, Perfos et Fresnel qui date de 2005 (contrat DGA, ANR, MRCT du CNRS).







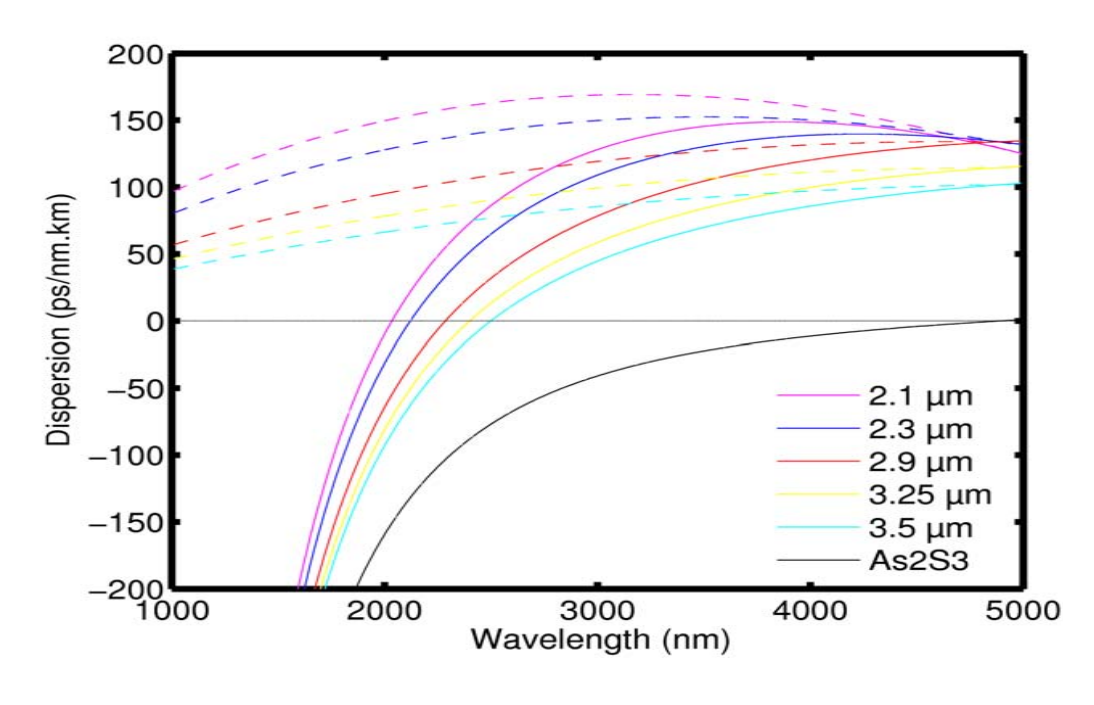
#### Fibres microstructurées

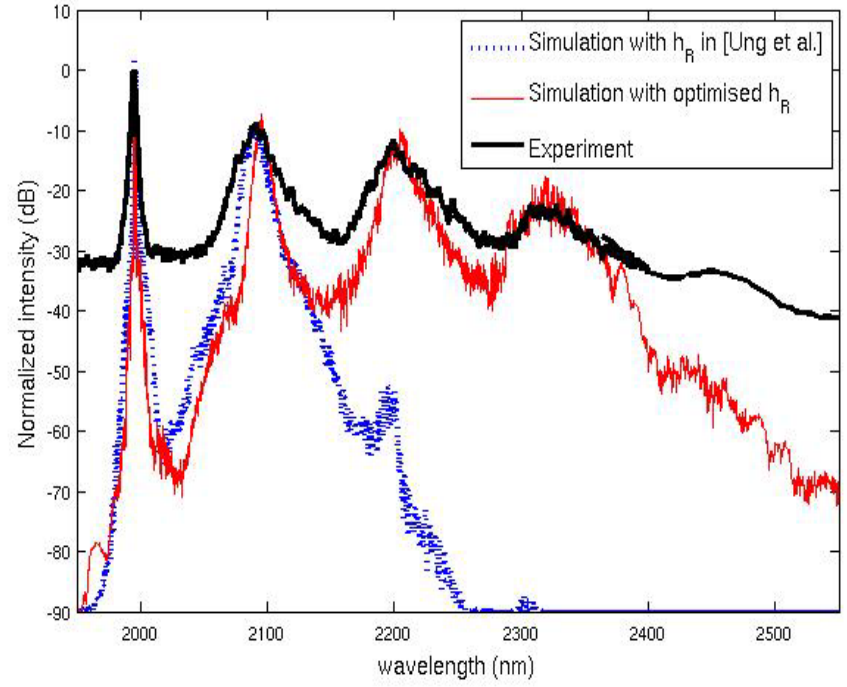
Conception de fibres à coeur suspendu en verre de chalcogénure pour la génération d'un supercontinuum dans le moyen infrarouge à partir des propriétes linéaires et nonlinéaires (première mondiale).

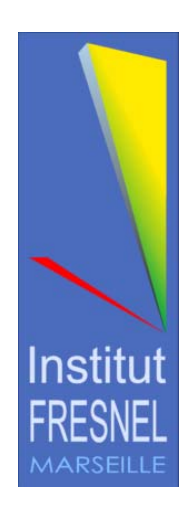
Applications: biophotonique, métrologie, télédétection LIDAR

Réalisation à l'EVC et l'ICB à Dijon, et caractérisation par l'ONERA à Palaiseau









# **Production Scientifique**

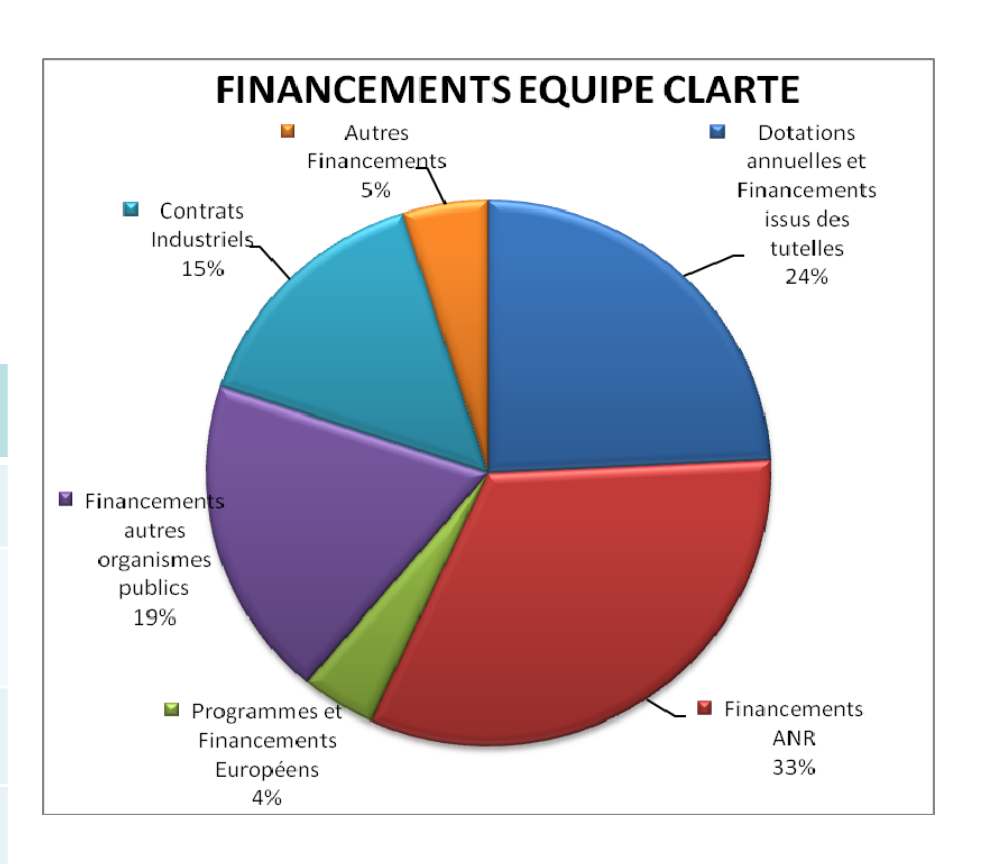
• ACL (Articles dans revues internationales ou nationales avec comité de lecture)	161
• <b>ASCL</b> (Articles dans revues internationales ou nationales sans comité de lecture)	5
• INV (Conférences données à l'invitation du Comité d'organisation)	16
ACTI (Communications avec actes dans congrès international)	17
• ACTN (Communications avec actes dans congrès national)	2
• COM (Communications orales sans actes dans congrès international ou national)	62
• <b>OS</b> (Ouvrages scientifiques - ou chapitres de ces ouvrages -)	5
• AP (Autre Production ou Média)	30
B (Brevets, Licences, Logiciels)	4



# Recettes

# Récapitulatif des Financements

Dotations Annuelles et Financements issus des Tutelles	239 426 €
Financements ANR	321 938 €
Programmes et Financements Européens	42 267 €
Financements Collectivités	-
Financements Autres Organismes Publics	188 066 €
Contrats Industriels	147 702 €
Autres Financements	48 461 €
TOTAL	987 863 €





### **Rayonnement - Collaborations**

ANR (souligné) Nationales Internationales

# Mathématiques appliquées

Univ. Liverpool Imperial College Univ. Cagliari

ANAM (Toulon)

#### **Théorie**

AMOLF (Amterdam)...

#### **Applications**

CEA CNES DGA

Jobin-Yvon

Thales Alenia Space PERFOS (Lannion)

ILE (Palaiseau)

#### Modélisation

IEF (Orsay)

**GES** (Montpellier)

LASMEA (Clermont)

ESPCI & EM<sub>2</sub>C

Univ. Sydney

Univ. Valencia

Univ. Liège

Univ. Sienne

Univ. Trente

Univ. Tsinghua

Univ. Kânpur

Univ. St Petersburg

Univ. Wroclaw (Poland)

#### Expérience

ICB (Dijon)

IEMN (Lille)

LAAS (Toulouse)

LPN (Marcoussis)

LVC (Rennes)

PERFOS (Lannion)

X-Lim (Limoges)

Phlam/IRCICA (Lille)

IEF (Orsay)

**GEMAC** (Versailles)

FOTON/ENSSAT (Lannion)

FEMTO-ST (Besançon)

**ONERA DOTA** 

ICFO (Barcelona)

ICMM (CSIC, Madrid)



### Rayonnement - Organisation de conférences

- Organisation de la SSOP (Summer School On Plasmonics), 13-17 Septembre 2009, Iles de Porquerolles, France.
- Co-organisation du British Science Festival qui s'est tenu à Liverpool en Septembre 2008 (S. Guenneau).
- Organisation d'une session de la conférence Waves (EPSRC/INRIA) à l'Université de Reading en Juillet 2007 (S. Guenneau).
- Organisation d'une session du British Applied Mathematics Colloquium en mars 2008 à l'Université de Manchester (S. Guenneau).
- Participation au comité d'organisation et de lecture de plusieurs conférences internationales (IEEE Compumag, EPNC, EMF) (A. Nicolet).
- Co-présidence de "Nanophotonics, Metamaterials and Optical Microcavities" (EOS Annual Meeting 2006, Paris) (S. Enoch).

#### A venir:

- Présidence du comité d'organisation des Journées Nationales d'Optique Guidée dans le cadre d'Optique Marseille en juillet 2011 (G. Renversez).
- Organisation de la conférence internationale ETOPIM 2012 à Marseille (par plusieurs membres de l'équipe CLARTE).
- Présidence du comité scientifique de Numélec, organisée à Marseille en 2012 (A. Nicolet).



## Rayonnement

#### **Prix et Distinctions**

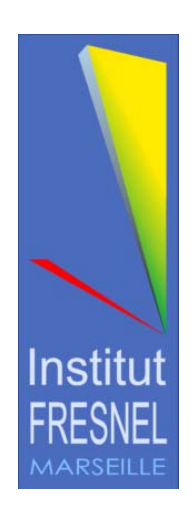
Stefan Enoch - Médaille de bronze du CNRS en 2006

#### Membres de comités éditoriaux

- membre du comité éditorial du Journal of Modern Optics (S. Enoch)
- éditeur associé Optics Express de l'Optical Society of America (S. Enoch)

#### Activités d'intérêt collectif

- Conseillers scientifiques du CEA-DAM: D. Maystre et S. Enoch
- Experts à l'ANR : E. Popov, S. Enoch.
- Membre du comité national de la recherche scientifique en section 08 : S.
   Enoch (2004-2008)
- Membres du conseil scientifique du département ST2I : S. Enoch (2008-2009),
   B. Gralak (2010 ->)
- Membre du CNU en section 30: G. Renversez
- Représentant de la France dans le Comité de Direction de l'Action COST MP0702: E. Popov (2008 ->)
- Membre du comité scientifique du club Journées Nationales d'Optique Guidée :
   G. Renversez
- + Autres activités dans les instances locales ...



## **HDR – Thèses – Devenir Doctorants**

• HDR soutenues: 4

• Thèses en cours : 7

• Thèses soutenues entre 2006 et 2010:10

Insertion professionnelle des doctorants

4 post-doc (1 USA, 3 France)

4 ingénieurs (2 Thalès, CommProve Italie, 1 ESA Pays-Bas)

1 MCF

1 recherche d'emploi



#### **Doctorants et post-doctorants**

#### Thèses soutenues depuis 2006

- 1. BOYER Philippe (MENRT), 10/2006
- 2. BENELLI Giacomo (MENRT), 01/2007
- 3. OULD AGHA Yacoub (Mauritanie), 12/2007
- 4. HERNANDEZ Stéphan (CNES), 07/2008
- 5. DROUART Fabien (CNRS BDI), 11/2008
- 6. PIERRE Raphaël (MENRT), 12/2008
- 7. GODARD Pierre (MENRT), 09/2009
- 8. FARHAT Mohamed (MENRT), 11/2009
- 9. SMIGAJ Wojciech (MENRT), 09/2010
- 10. DEVILEZ Alexis (MENRT), 10/2010

#### Thèses en cours

- 1. CHAN SHIN YU Kristel (CNES)
- 2. KADIC Muamer (MENRT)
- 3. SHU Da (China Scholarship Council)
- 4. DUPONT Guillaume (MENRT)
- 5. LIU Yan (China Scholarship Council)
- 6. CHANG Tieh-Ming (Erasmus)
- 7. PASTORELLI Francesco (Erasmus)
- 8. ROLLY Brice (MENRT)

#### **Post-doctorants**

- 1. JIANG Hai-tao (FFCSA, 18 mois)
- 2. VASILIEF Ion (DGA, 18 mois)
- 3. ROMERO-VIVAS Javier (ANR, 24 mois)
- 4. SZPULAK Marcin (12 mois)
- 5. PIERRE Raphaël (ANR, 6 mois)
- 6. CABUZ Alexandru (12 mois)
- 7. NGUYEN Thanh Nam (4 mois)
- 8. CHAKRABARTI Sangeeta (6 mois)